

Fale biegnące w równaniach reakcji-dyfuzji

Piotr Bartłomiejczyk

Politechnika Gdańska

Między teorią a zastosowaniami: Matematyka w działaniu
Będlewo, 25–30 maja 2015

Równanie reakcji-dyfuzji

Równanie reakcji-dyfuzji

Rozważmy skalarne równanie reakcji-dyfuzji

Równanie reakcji-dyfuzji

Rozważmy skalarne równanie reakcji-dyfuzji

$$(1) \quad u_t - u_{xx} = f(u) \quad \text{w } \mathbb{R} \times (0, \infty),$$

Równanie reakcji-dyfuzji

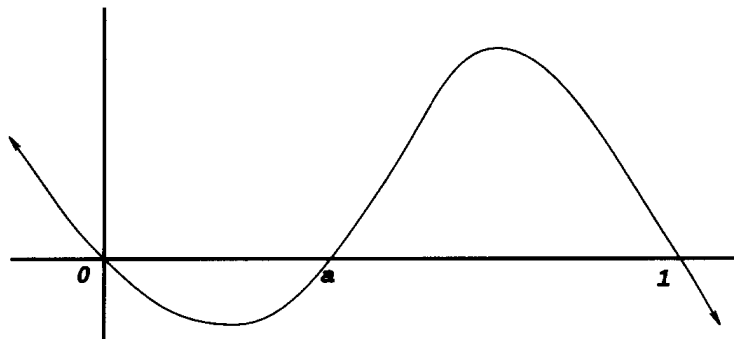
Rozważmy skalarne równanie reakcji-dyfuzji

$$(1) \quad u_t - u_{xx} = f(u) \quad \text{w } \mathbb{R} \times (0, \infty),$$

gdzie $f: \mathbb{R} \rightarrow \mathbb{R}$ przypomina wielomian trzeciego stopnia.

Wykres funkcji f

Wykres funkcji f



Graph of the function f

Równanie bistabilne

Równanie bistabilne

Stałe 0 i 1 są stabilnymi rozwiązaniami równania (1) ($f' < 0$ w punktach $z = 0, 1$),

Równanie bistabilne

Stałe 0 i 1 są stabilnymi rozwiązaniami równania (1) ($f' < 0$ w punktach $z = 0, 1$), natomiast stała a jest rozwiązaniem niestabilnym ($f' > 0$ w punkcie $z = a$).

Równanie bistabilne

Stałe 0 i 1 są stabilnymi rozwiązaniami równania (1) ($f' < 0$ w punktach $z = 0, 1$), natomiast stała a jest rozwiązaniem niestabilnym ($f' > 0$ w punkcie $z = a$).

Stąd równanie (1) nazywamy *bistabilnym*.

Bistabilne fale biegnące

Bistabilne fale biegnące

Szukamy bistabilnych *fal biegnących* tzn. rozwiązań u równania
(1) postaci

Bistabilne fale biegnące

Szukamy bistabilnych *fal biegnących* tzn. rozwiązań u równania
(1) postaci

$$u(x, t) = v(x - \sigma t),$$

Bistabilne fale biegnące

Szukamy bistabilnych *fal biegnących* tzn. rozwiązań u równania (1) postaci

$$u(x, t) = v(x - \sigma t),$$

przy czym profil v i prędkość σ należy wyznaczyć w taki sposób, aby

Bistabilne fale biegnące

Szukamy bistabilnych *fal biegnących* tzn. rozwiązań u równania (1) postaci

$$u(x, t) = v(x - \sigma t),$$

przy czym profil v i prędkość σ należy wyznaczyć w taki sposób, aby

$$u \rightarrow 0 \quad \text{dla } x \rightarrow -\infty, \quad u \rightarrow 1 \quad \text{dla } x \rightarrow +\infty.$$

Bistabilne fale biegnące

Szukamy bistabilnych *fal biegnących* tzn. rozwiązań u równania (1) postaci

$$u(x, t) = v(x - \sigma t),$$

przy czym profil v i prędkość σ należy wyznaczyć w taki sposób, aby

$$u \rightarrow 0 \quad \text{dla } x \rightarrow -\infty, \quad u \rightarrow 1 \quad \text{dla } x \rightarrow +\infty.$$

Chcemy zatem, by fala biegnąca umożliwiała przejście między dwoma stanami stabilnymi $z = 0, 1$ przyjmowanymi dla $x = \pm\infty$.

Równanie różniczkowe II rzędu

Równanie różniczkowe II rzędu

Podstawiając $s = x - \sigma t$ widzimy, że funkcja v musi spełniać jedno równanie zwyczajne II rzędu

Równanie różniczkowe II rzędu

Podstawiając $s = x - \sigma t$ widzimy, że funkcja v musi spełniać jedno równanie zwyczajne II rzędu

$$v'' + \sigma v' + f(v) = 0 \quad \left(' = \frac{d}{ds} \right)$$

Równanie różniczkowe II rzędu

Podstawiając $s = x - \sigma t$ widzimy, że funkcja v musi spełniać jedno równanie zwyczajne II rzędu

$$v'' + \sigma v' + f(v) = 0 \quad \left(' = \frac{d}{ds} \right)$$

i warunki

Równanie różniczkowe II rzędu

Podstawiając $s = x - \sigma t$ widzimy, że funkcja v musi spełniać jedno równanie zwyczajne II rzędu

$$v'' + \sigma v' + f(v) = 0 \quad \left(' = \frac{d}{ds} \right)$$

i warunki

$$\lim_{s \rightarrow +\infty} v(s) = 1, \quad \lim_{s \rightarrow -\infty} v(s) = 0, \quad \lim_{s \rightarrow \pm\infty} v'(s) = 0.$$

Układ dwóch równań I rzędu

Układ dwóch równań I rzędu

Lub równoważnie układ dwóch równań autonomicznych I rzędu

Układ dwóch równań I rzędu

Lub równoważnie układ dwóch równań autonomicznych I rzędu

$$(2) \quad \begin{aligned} v' &= w \\ w' &= -\sigma w - f(v), \end{aligned}$$

Układ dwóch równań I rzędu

Lub równoważnie układ dwóch równań autonomicznych I rzędu

$$(2) \quad \begin{aligned} v' &= w \\ w' &= -\sigma w - f(v), \end{aligned}$$

z warunkami

Układ dwóch równań I rzędu

Lub równoważnie układ dwóch równań autonomicznych I rzędu

$$(2) \quad \begin{aligned} v' &= w \\ w' &= -\sigma w - f(v), \end{aligned}$$

z warunkami

$$\lim_{s \rightarrow +\infty} (v, w) = (1, 0), \quad \lim_{s \rightarrow -\infty} (v, w) = (0, 0).$$

Punkty stacjonarne potoku

Punkty stacjonarne potoku

Łatwo sprawdzić, że

Punkty stacjonarne potoku

Łatwo sprawdzić, że

- $(0, 0)$ i $(1, 0)$ są siodłowymi punktami stacjonarnymi potoku generowanego przez (2),

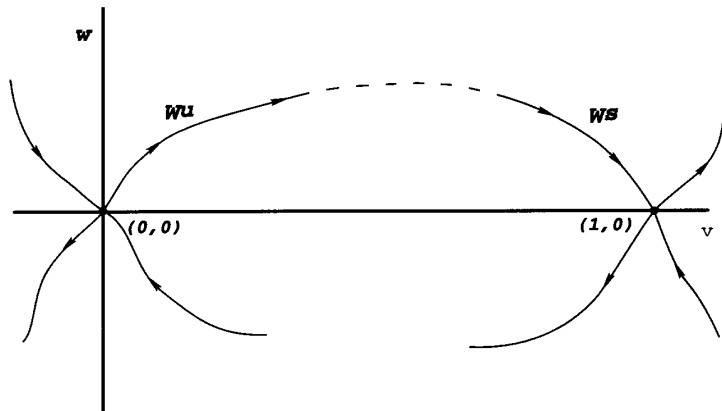
Punkty stacjonarne potoku

Łatwo sprawdzić, że

- $(0, 0)$ i $(1, 0)$ są siodłowymi punktami stacjonarnymi potoku generowanego przez (2),
- portrety fazowe wokół tych punktów wyglądają jak na rysunku.

Portret fazowy

Portret fazowy



Stable and unstable curves

Kluczowa obserwacja

Kluczowa obserwacja

Fakt

Istnienie orbity heteroklinicznej układu (2) z punktu $(0, 0)$ do punktu $(1, 0)$ implikuje istnienie bistabilnej fali biegnącej o prędkości σ dla równania reakcji-dyfuzji (1).

Przykład Conleya

Przykład Conleya

W książce Charlesa Conleya *Isolated Invariant Sets and the Morse index* (CBMS Reg. Conf. Ser. in Math. 38, AMS, 1978) znajduje się następujący przykład. Rozważmy układ równań

Przykład Conleya

W książce Charlesa Conleya *Isolated Invariant Sets and the Morse index* (CBMS Reg. Conf. Ser. in Math. 38, AMS, 1978) znajduje się następujący przykład. Rozważmy układ równań

$$dx/dt = y,$$

$$dy/dt = \theta y - x(x - 1/3)(1 - x).$$

Przykład Conleya

W książce Charlesa Conleya *Isolated Invariant Sets and the Morse index* (CBMS Reg. Conf. Ser. in Math. 38, AMS, 1978) znajduje się następujący przykład. Rozważmy układ równań

$$dx/dt = y,$$

$$dy/dt = \theta y - x(x - 1/3)(1 - x).$$

Twierdzenie

Dla pewnego θ istnieje orbita heterokliniczna z $(0, 0)$ do $(1, 0)$.

Potok

Potok

Niech X oznacza lokalnie zwartą przestrzeń metryczną oraz φ oznacza potok na X ,

Potok

Niech X oznacza lokalnie zwartą przestrzeń metryczną oraz φ oznacza potok na X , tzn. ciągłe odwzorowanie $\varphi: \mathbb{R} \times X \rightarrow X$ takie, że

Potok

Niech X oznacza lokalnie zwartą przestrzeń metryczną oraz φ oznacza potok na X , tzn. ciągłe odwzorowanie $\varphi: \mathbb{R} \times X \rightarrow X$ takie, że

- $\varphi(0, x) = x$,

Potok

Niech X oznacza lokalnie zwartą przestrzeń metryczną oraz φ oznacza potok na X , tzn. ciągłe odwzorowanie $\varphi: \mathbb{R} \times X \rightarrow X$ takie, że

- $\varphi(0, x) = x$,
- $\varphi(t, \varphi(s, x)) = \varphi(t + s, x)$.

Potok

Niech X oznacza lokalnie zwartą przestrzeń metryczną oraz φ oznacza potok na X , tzn. ciągłe odwzorowanie $\varphi: \mathbb{R} \times X \rightarrow X$ takie, że

- $\varphi(0, x) = x$,
- $\varphi(t, \varphi(s, x)) = \varphi(t + s, x)$.

Oznaczenia

- Jeśli $I \subset \mathbb{R}$ i $A \subset X$, to $\varphi(I, A) := \{\varphi(t, x) \mid t \in I \text{ and } x \in A\}$.

Potok

Niech X oznacza lokalnie zwartą przestrzeń metryczną oraz φ oznacza potok na X , tzn. ciągłe odwzorowanie $\varphi: \mathbb{R} \times X \rightarrow X$ takie, że

- $\varphi(0, x) = x$,
- $\varphi(t, \varphi(s, x)) = \varphi(t + s, x)$.

Oznaczenia

- Jeśli $I \subset \mathbb{R}$ i $A \subset X$, to $\varphi(I, A) := \{\varphi(t, x) \mid t \in I \text{ and } x \in A\}$.
- Dla $N \subset X$ zbiór $\text{Inv}(N) := \{x \in X \mid \varphi(\mathbb{R}, x) \subset N\}$ nazywamy *częścią niezmienniczą* zbioru N .

Potok

Niech X oznacza lokalnie zwartą przestrzeń metryczną oraz φ oznacza potok na X , tzn. ciągłe odwzorowanie $\varphi: \mathbb{R} \times X \rightarrow X$ takie, że

- $\varphi(0, x) = x$,
- $\varphi(t, \varphi(s, x)) = \varphi(t + s, x)$.

Oznaczenia

- Jeśli $I \subset \mathbb{R}$ i $A \subset X$, to $\varphi(I, A) := \{\varphi(t, x) \mid t \in I \text{ and } x \in A\}$.
- Dla $N \subset X$ zbiór $\text{Inv}(N) := \{x \in X \mid \varphi(\mathbb{R}, x) \subset N\}$ nazywamy *częścią niezmienniczą* zbioru N .
- Mówimy, że $S \subset X$ jest *niezmienniczy*, jeśli $\text{Inv}(S) = S$.

Zbiory niezmiennicze

Zbiory niezmiennicze

Niech $S \subset X$ będzie zwartym zbiorem niezmienniczym.

Zbiory niezmiennicze

Niech $S \subset X$ będzie zwartym zbiorem niezmienniczym.

- Zwarty zbiór $N \subset X$ nazywamy *otoczeniem izolującym*, jeśli $\text{Inv}(N) \subset \text{int}(N)$.

Zbiory niezmiennicze

Niech $S \subset X$ będzie zwartym zbiorem niezmienniczym.

- Zwarty zbiór $N \subset X$ nazywamy *otoczeniem izolującym*, jeśli $\text{Inv}(N) \subset \text{int}(N)$.
- S nazywamy *izolowanym zwartym zbiorem niezmienniczym*, jeśli $S = \text{Inv}(N)$ dla pewnego otoczenia izolującego N .

Zbiory niezmiennicze

Niech $S \subset X$ będzie zwartym zbiorem niezmienniczym.

- Zwarty zbiór $N \subset X$ nazywamy *otoczeniem izolującym*, jeśli $\text{Inv}(N) \subset \text{int}(N)$.
- S nazywamy *izolowanym zwartym zbiorem niezmienniczym*, jeśli $S = \text{Inv}(N)$ dla pewnego otoczenia izolującego N .
- Zbiór $A \subset L$ nazywamy *dodatnio niezmienniczym* w L , jeśli warunki $x \in A$ i $\varphi([0, t], x) \subset L$ implikują, że $\varphi([0, t], x) \subset A$.

Zbiory niezmiennicze

Niech $S \subset X$ będzie zwartym zbiorem niezmienniczym.

- Zwarty zbiór $N \subset X$ nazywamy *otoczeniem izolującym*, jeśli $\text{Inv}(N) \subset \text{int}(N)$.
- S nazywamy *izolowanym zwartym zbiorem niezmienniczym*, jeśli $S = \text{Inv}(N)$ dla pewnego otoczenia izolującego N .
- Zbiór $A \subset L$ nazywamy *dodatnio niezmienniczym* w L , jeśli warunki $x \in A$ i $\varphi([0, t], x) \subset L$ implikują, że $\varphi([0, t], x) \subset A$.
- Podzbiór A zbioru L nazywamy *zbiorem wyjścia* dla L , jeśli z tego, że $x \in L$ i $\varphi([0, \infty), x) \not\subset L$, wynika, że istnieje $t \geq 0$ takie, że $\varphi([0, t], x) \subset L$ i $\varphi(t, x) \in A$.

Para indeksowa

Para indeksowa

Niech S będzie izolowanym zwartym zbiorem niezmienniczym.

Para indeksowa

Niech S będzie izolowanym zwartym zbiorem niezmienniczym. Parę zbiorów zwartych (N^1, N^0) nazywamy *parą indeksową* dla S jeśli:

Para indeksowa

Niech S będzie izolowanym zwartym zbiorem niezmienniczym. Parę zbiorów zwartych (N^1, N^0) nazywamy *parą indeksową* dla S jeśli:

$$(i) \quad S = \text{Inv}(\text{cl}(N^1 \setminus N^0)) \subset \text{int}(N^1 \setminus N^0),$$

Para indeksowa

Niech S będzie izolowanym zwartym zbiorem niezmienniczym. Parę zbiorów zwartych (N^1, N^0) nazywamy *parą indeksową* dla S jeśli:

- (i) $S = \text{Inv}(\text{cl}(N^1 \setminus N^0)) \subset \text{int}(N^1 \setminus N^0)$,
- (ii) N^0 jest dodatnio niezmienniczy w N^1 ,

Para indeksowa

Niech S będzie izolowanym zwartym zbiorem niezmienniczym. Parę zbiorów zwartych (N^1, N^0) nazywamy *parą indeksową* dla S jeśli:

- (i) $S = \text{Inv}(\text{cl}(N^1 \setminus N^0)) \subset \text{int}(N^1 \setminus N^0)$,
- (ii) N^0 jest dodatnio niezmienniczy w N^1 ,
- (iii) N^0 jest zbiorem wyjścia dla N^1 .

Indeks Conleya

Indeks Conleya

Definicja

Homologiczny indeks Conleya zbioru S określamy jako

Indeks Conleya

Definicja

Homologiczny indeks Conleya zbioru S określamy jako

$$CH_*(S) := H_*(N^1/N^0, [N^0]) \approx H_*(N^1, N^0),$$

Indeks Conleya

Definicja

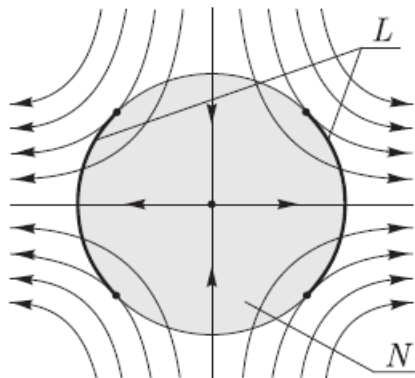
Homologiczny indeks Conleya zbioru S określamy jako

$$CH_*(S) := H_*(N^1/N^0, [N^0]) \approx H_*(N^1, N^0),$$

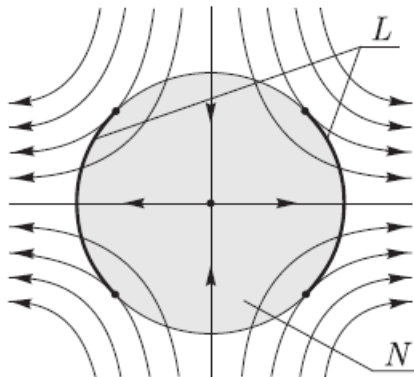
gdzie (N^1, N^0) is jest jakąkolwiek para indeksową dla S .

Indeks Conleya — przykład

Indeks Conleya — przykład



Indeks Conleya — przykład



$$CH_*(S) = H_*(N, L) = H_*(S^1, \text{pt})$$

Zbiory ω -graniczne

Zbiory ω -graniczne

Przypomnijmy, że dla $Y \subset X$ jego zbiory ω -graniczne definiujemy jako

Zbiory ω -graniczne

Przypomnijmy, że dla $Y \subset X$ jego zbiory ω -graniczne definiujemy jako

$$\omega^+(Y) := \bigcap_{t>0} \text{cl}(\varphi([t, \infty), Y))$$

Zbiory ω -graniczne

Przypomnijmy, że dla $Y \subset X$ jego zbiory ω -graniczne definiujemy jako

$$\omega^+(Y) := \bigcap_{t>0} \text{cl}(\varphi([t, \infty), Y))$$

oraz

Zbiory ω -graniczne

Przypomnijmy, że dla $Y \subset X$ jego zbiory ω -graniczne definiujemy jako

$$\omega^+(Y) := \bigcap_{t>0} \text{cl}(\varphi([t, \infty), Y))$$

oraz

$$\omega^-(Y) := \bigcap_{t<0} \text{cl}(\varphi((-\infty, t], Y)).$$

Rozkład Morse'a

Rozkład Morse'a

Niech S będzie izolowanym zwartym zbiorem niezmienniczym.

Rozkład Morse'a

Niech S będzie izolowanym zwartym zbiorem niezmienniczym.

Definicja

Rodzinę $\{M_i\}_1^n$ parami rozłącznych zwartych niezmienniczych podzbiorów zbioru S nazywamy *rozkładem Morse'a*,

Rozkład Morse'a

Niech S będzie izolowanym zwartym zbiorem niezmienniczym.

Definicja

Rodzinę $\{M_i\}_1^n$ parami rozłącznych zwartych niezmienniczych podzbiorów zbioru S nazywamy *rozkładem Morse'a*, jeżeli dla każdego $x \in S \setminus \bigcup_{i=1}^n M_i$ istnieją indeksy $i < j$ takie, że $\omega^+(x) \subset M_i$ and $\omega^-(x) \subset M_j$.

Rozkład Morse'a

Niech S będzie izolowanym zwartym zbiorem niezmienniczym.

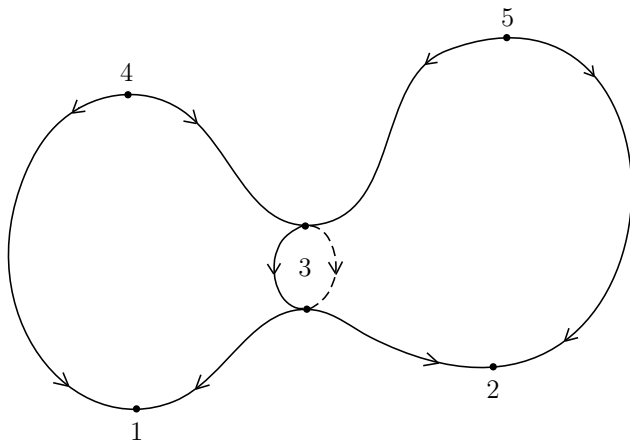
Definicja

Rodzinę $\{M_i\}_1^n$ parami rozłącznych zwartych niezmienniczych podzbiorów zbioru S nazywamy *rozkładem Morse'a*, jeżeli dla każdego $x \in S \setminus \bigcup_{i=1}^n M_i$ istnieją indeksy $i < j$ takie, że $\omega^+(x) \subset M_i$ and $\omega^-(x) \subset M_j$.

Zbiory M_i nazywamy *zbiorami Morse'a*.

Rozkład Morse'a — przykład

Rozkład Morse'a — przykład



Rozkład Morse'a

Rozkład Morse'a

Uwaga

Jak widać *rozkład Morse'a* to taki układ punktów stacjonarnych (ogólniej zwartych zbiorów niezmienniczych), który nie dopuszcza *cykli* czyli skończonych ciągów orbit skierowanych zaczynających i kończących się w tym samym punkcie (zbiorze).

Para atraktor-repeler

Para atraktor-repeler

- Najprostszy nietrywialny rozkład Morse'a izolowanego zwanego zwartego zbioru niezmienniczego S składa się z dwóch elementów $\{M_1, M_2\}$.

Para atraktor-repeler

- Najprostszy nietrywialny rozkład Morse'a izolowanego zwartego zbioru niezmienniczego S składa się z dwóch elementów $\{M_1, M_2\}$.
- Nazywamy go *parą atraktor-repeler* w S .

Para atraktor-repeler

- Najprostszy nietrywialny rozkład Morse'a izolowanego zwartego zbioru niezmienniczego S składa się z dwóch elementów $\{M_1, M_2\}$.
- Nazywamy go *parą atraktor-repeler* w S .
- Zbiór *orbit łączących* z M_2 do M_1 w S określamy jako

Para atraktor-repeler

- Najprostszy nietrywialny rozkład Morse'a izolowanego zwartego zbioru niezmienniczego S składa się z dwóch elementów $\{M_1, M_2\}$.
- Nazywamy go *parą atraktor-repeler* w S .
- Zbiór *orbit łączących* z M_2 do M_1 w S określamy jako

$$C(M_2, M_1; S) := \{x \in S \mid \omega^+(x) \subset M_1, \omega^-(x) \subset M_2\}.$$

Trójka indeksowa

Trójka indeksowa

Definicja

Trójką indeksową dla pary atraktor-repeler $\{M_1, M_2\}$ w S trójkę zbiorów zwartych $N^0 \subset N^1 \subset N^2$ taką, że

Trójka indeksowa

Definicja

Trójką indeksową dla pary atraktor-repeler $\{M_1, M_2\}$ w S trójkę zbiorów zwartych $N^0 \subset N^1 \subset N^2$ taką, że

- (N^2, N^0) jest parą indeksową dla S ,

Trójka indeksowa

Definicja

Trójką indeksową dla pary atraktor-repeler $\{M_1, M_2\}$ w S trójkę zbiorów zwartych $N^0 \subset N^1 \subset N^2$ taką, że

- (N^2, N^0) jest parą indeksową dla S ,
- (N^2, N^1) jest parą indeksową dla M_2 ,

Trójka indeksowa

Definicja

Trójką indeksową dla pary atraktor-repeler $\{M_1, M_2\}$ w S trójkę zbiorów zwartych $N^0 \subset N^1 \subset N^2$ taką, że

- (N^2, N^0) jest parą indeksową dla S ,
- (N^2, N^1) jest parą indeksową dla M_2 ,
- (N^1, N^0) jest parą indeksową dla M_1 .

Ciąg dokładny dla pary atraktor-repeler

Ciąg dokładny dla pary atraktor-repeler

Niech ∂ oznacza odwzorowanie brzegu w długim ciągu dokładnym homologii trójki:

Ciąg dokładny dla pary atraktor-repeler

Niech ∂ oznacza odwzorowanie brzegu w długim ciągu dokładnym homologii trójki:

$$\rightarrow H_k(N^1, N^0) \rightarrow H_k(N^2, N^0) \rightarrow H_k(N^2, N^1) \xrightarrow{\partial} H_{k-1}(N^1, N^0) \rightarrow$$

Ciąg dokładny dla pary atraktor-repeler

Niech ∂ oznacza odwzorowanie brzegu w długim ciągu dokładnym homologii trójki:

$$\rightarrow H_k(N^1, N^0) \rightarrow H_k(N^2, N^0) \rightarrow H_k(N^2, N^1) \xrightarrow{\partial} H_{k-1}(N^1, N^0) \rightarrow$$

Następujące twierdzenie wiąże powyższy ciąg dokładny z dynamiką potoku.

Ciąg dokładny dla pary atraktor-repeler

Niech ∂ oznacza odwzorowanie brzegu w długim ciągu dokładnym homologii trójki:

$$\rightarrow H_k(N^1, N^0) \rightarrow H_k(N^2, N^0) \rightarrow H_k(N^2, N^1) \xrightarrow{\partial} H_{k-1}(N^1, N^0) \rightarrow$$

Następujące twierdzenie wiąże powyższy ciąg dokładny z dynamiką potoku.

Twierdzenie

Jeśli $\partial \neq 0$, to $C(M_2, M_1; S) \neq \emptyset$.

Własność kontynuacji dla indeksu Conleya

Własność kontynuacji dla indeksu Conleya

Rozważmy ciągłą rodzinę potoków $\varphi_\lambda: \mathbb{R} \times X \rightarrow X$, gdzie $\lambda \in (a, b)$.

Własność kontynuacji dla indeksu Conleya

Rozważmy ciągłą rodzinę potoków $\varphi_\lambda: \mathbb{R} \times X \rightarrow X$, gdzie $\lambda \in (a, b)$.

Definicja

Niech $N \subset X$ będzie zwarty. Niech $S_\lambda = \text{Inv}(N, \varphi_\lambda)$.

Własność kontynuacji dla indeksu Conleya

Rozważmy ciągłą rodzinę potoków $\varphi_\lambda: \mathbb{R} \times X \rightarrow X$, gdzie $\lambda \in (a, b)$.

Definicja

Niech $N \subset X$ będzie zwarty. Niech $S_\lambda = \text{Inv}(N, \varphi_\lambda)$. Mówimy, że dwa izolowane zwarte zbiory niezmiennicze S_{λ_0} i S_{λ_1} są połączone przez *kontynuację*, jeżeli N jest otoczeniem izolującym dla wszystkich φ_λ , gdzie $\lambda \in [\lambda_0, \lambda_1]$.

Własność kontynuacji dla indeksu Conleya

Rozważmy ciągłą rodzinę potoków $\varphi_\lambda: \mathbb{R} \times X \rightarrow X$, gdzie $\lambda \in (a, b)$.

Definicja

Niech $N \subset X$ będzie zwarty. Niech $S_\lambda = \text{Inv}(N, \varphi_\lambda)$. Mówimy, że dwa izolowane zwarte zbiory niezmiennicze S_{λ_0} i S_{λ_1} są połączone przez *kontynuację*, jeżeli N jest otoczeniem izolującym dla wszystkich φ_λ , gdzie $\lambda \in [\lambda_0, \lambda_1]$.

Indeks Conleya jest niezmienniczy ze względu na kontynuację.

Własność kontynuacji dla indeksu Conleya

Rozważmy ciągłą rodzinę potoków $\varphi_\lambda: \mathbb{R} \times X \rightarrow X$, gdzie $\lambda \in (a, b)$.

Definicja

Niech $N \subset X$ będzie zwarty. Niech $S_\lambda = \text{Inv}(N, \varphi_\lambda)$. Mówimy, że dwa izolowane zwarte zbiory niezmiennicze S_{λ_0} i S_{λ_1} są połączone przez *kontynuację*, jeżeli N jest otoczeniem izolującym dla wszystkich φ_λ , gdzie $\lambda \in [\lambda_0, \lambda_1]$.

Indeks Conleya jest niezmienniczy ze względu na kontynuację.

Twierdzenie

Jeżeli dwa izolowane zwarte zbiory niezmiennicze S_{λ_0} i S_{λ_1} są połączone przez kontynuację, to $CH_(S_{\lambda_0}) = CH_*(S_{\lambda_1})$.*

Własność kontynuacji dla pary atraktor-repeler

Własność kontynuacji dla pary atraktor-repeler

Uwaga

Własność kontynuacji można też sformułować dla rozkładów Morse'a. W szczególnym przypadku pary atraktor-repeler własność kontynuacji formułujemy używając ciągu dokładnego homotopii lub homologii.

Twierdzenie

Twierdzenie

Przypomnijmy nasze twierdzenie.

Twierdzenie

Przypomnijmy nasze twierdzenie.

Twierdzenie

Dla pewnego θ istnieje orbita łącząca z $(0, 0)$ do $(1, 0)$ potoku fazowego generowanego przez układ równań

$$dx/dt = y,$$

$$dy/dt = \theta y - x(x - 1/3)(1 - x).$$

Szkic dowodu 1

Szkic dowodu 1

Założmy, że parametr $\theta \in (0, \infty)$. Przypuśćmy, że dla żadnej wartości parametru $\theta > 0$ nie ma orbity łączącej z punktu $(0, 0)$ do punktu $(1, 0)$.

Szkic dowodu 1

Założmy, że parametr $\theta \in (0, \infty)$. Przypuśćmy, że dla żadnej wartości parametru $\theta > 0$ nie ma orbity łączącej z punktu $(0, 0)$ do punktu $(1, 0)$. Wtedy ciąg

Szkic dowodu 1

Założmy, że parametr $\theta \in (0, \infty)$. Przypuśćmy, że dla żadnej wartości parametru $\theta > 0$ nie ma orbity łączącej z punktu $(0, 0)$ do punktu $(1, 0)$. Wtedy ciąg

$$M_1 = (0, 0) < M_2 = (1, 0) < M_3 = (1/3, 0)$$

Szkic dowodu 1

Założmy, że parametr $\theta \in (0, \infty)$. Przypuśćmy, że dla żadnej wartości parametru $\theta > 0$ nie ma orbity łączącej z punktu $(0, 0)$ do punktu $(1, 0)$. Wtedy ciąg

$$M_1 = (0, 0) < M_2 = (1, 0) < M_3 = (1/3, 0)$$

jest rozkładem Morse'a dla dowolnej wartości parametru θ .

Szkic dowodu 1

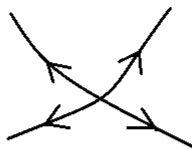
Założmy, że parametr $\theta \in (0, \infty)$. Przypuśćmy, że dla żadnej wartości parametru $\theta > 0$ nie ma orbity łączącej z punktu $(0, 0)$ do punktu $(1, 0)$. Wtedy ciąg

$$M_1 = (0, 0) < M_2 = (1, 0) < M_3 = (1/3, 0)$$

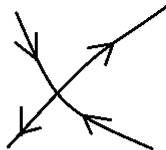
jest rozkładem Morse'a dla dowolnej wartości parametru θ .



(0,0)



(1/3,0)



(1,0)

Szkic dowodu 2

Szkic dowodu 2

Jeżeli $M_1 = (0, 0) < M_2 = (1, 0) < M_3 = (1/3, 0)$ jest rozkładem Morse'a dla dowolnej wartości parametru θ , to para $\{M_2, M_3\}$ jest parą atraktor-repeler dla wszystkich $\theta > 0$.

Szkic dowodu 3

Szkic dowodu 3

Własności kontynuacji dla pary atraktor-repeler oznacza przemienność poniższego diagramu ciągów dokładnych homologii trójek indeksowych

Szkic dowodu 3

Własności kontynuacji dla pary atraktor-repeler oznacza przemienność poniższego diagramu ciągów dokładnych homologii trójek indeksowych

$$\begin{array}{ccccccc} \longrightarrow & H_k(N^2, N^0) & \longrightarrow & H_k(N^2, N^1) & \xrightarrow{\partial} & H_{k-1}(N^1, N^0) & \longrightarrow \\ & \downarrow & & \downarrow & & \downarrow & \\ \longrightarrow & H_k(P^2, P^0) & \longrightarrow & H_k(P^2, P^1) & \xrightarrow{\partial'} & H_{k-1}(P^1, P^0) & \longrightarrow \end{array}$$

Szkic dowodu 3

Własności kontynuacji dla pary atraktor-repeler oznacza przemienność poniższego diagramu ciągów dokładnych homologii trójek indeksowych

$$\begin{array}{ccccccc} \longrightarrow & H_k(N^2, N^0) & \longrightarrow & H_k(N^2, N^1) & \xrightarrow{\partial} & H_{k-1}(N^1, N^0) & \longrightarrow \\ & \downarrow & & \downarrow & & \downarrow & \\ \longrightarrow & H_k(P^2, P^0) & \longrightarrow & H_k(P^2, P^1) & \xrightarrow{\partial'} & H_{k-1}(P^1, P^0) & \longrightarrow \end{array}$$

gdzie

- górny ciąg odpowiada wartości parametru: duże θ ,

Szkic dowodu 3

Własności kontynuacji dla pary atraktor-repeler oznacza przemienność poniższego diagramu ciągów dokładnych homologii trójek indeksowych

$$\begin{array}{ccccccc} \longrightarrow & H_k(N^2, N^0) & \longrightarrow & H_k(N^2, N^1) & \xrightarrow{\partial} & H_{k-1}(N^1, N^0) & \longrightarrow \\ & \downarrow & & \downarrow & & \downarrow & \\ \longrightarrow & H_k(P^2, P^0) & \longrightarrow & H_k(P^2, P^1) & \xrightarrow{\partial'} & H_{k-1}(P^1, P^0) & \longrightarrow \end{array}$$

gdzie

- górny ciąg odpowiada wartości parametru: duże θ ,
- dolny ciąg odpowiada wartości parametru: małe θ ,

Szkic dowodu 3

Własności kontynuacji dla pary atraktor-repeler oznacza przemienność poniższego diagramu ciągów dokładnych homologii trójek indeksowych

$$\begin{array}{ccccccc} \longrightarrow & H_k(N^2, N^0) & \longrightarrow & H_k(N^2, N^1) & \xrightarrow{\partial} & H_{k-1}(N^1, N^0) & \longrightarrow \\ & \downarrow & & \downarrow & & \downarrow & \\ \longrightarrow & H_k(P^2, P^0) & \longrightarrow & H_k(P^2, P^1) & \xrightarrow{\partial'} & H_{k-1}(P^1, P^0) & \longrightarrow \end{array}$$

gdzie

- górny ciąg odpowiada wartości parametru: duże θ ,
- dolny ciąg odpowiada wartości parametru: małe θ ,
- pionowe strzałki są izomorfizmami.

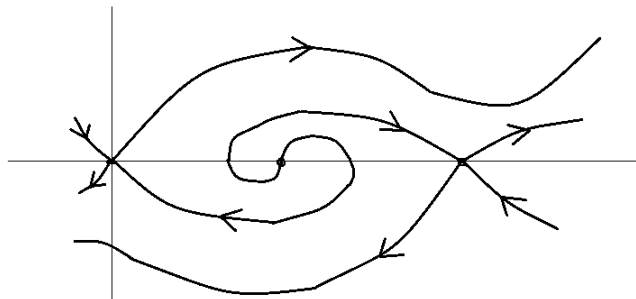
Szkic dowodu 4

Szkic dowodu 4

Wyliczamy odwzorowanie brzegu ∂ dla dużego θ korzystając ze znajomości portretu fazowego.

Szkic dowodu 4

Wyliczamy odwzorowanie brzegu ∂ dla dużego θ korzystając ze znajomości portretu fazowego.



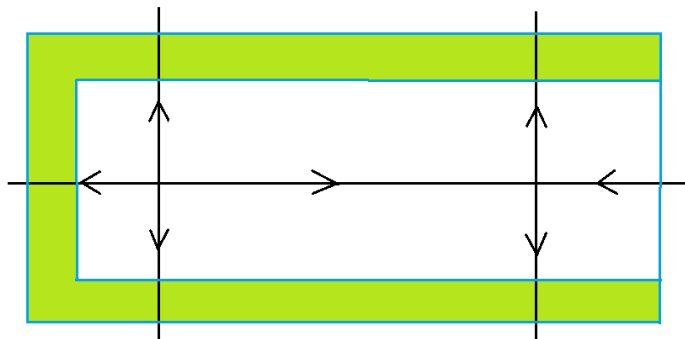
Szkic dowodu 5

Szkic dowodu 5

Po „deformacji” otoczenie izolujące dla pary atraktor-repeler ma postać

Szkic dowodu 5

Po „deformacji” otoczenie izolujące dla pary atraktor-repeler ma postać



Szkic dowodu 6

Szkic dowodu 6

Stąd ciąg dokładny dla pary A-R ma w tym wypadku postać

Szkic dowodu 6

Stąd ciąg dokładny dla pary A-R ma w tym wypadku postać

$$\begin{array}{ccccccc} H_2(N^2, N^0) & \longrightarrow & H_2(N^2, N^1) & \xrightarrow{\partial} & H_1(N^1, N^0) & \longrightarrow & H_1(N^2, N^0) \\ \parallel & & \parallel & & \parallel & & \parallel \\ 0 & \longrightarrow & \mathbb{Z} & \xrightarrow{\partial} & \mathbb{Z} & \longrightarrow & 0 \end{array}$$

Szkic dowodu 6

Stąd ciąg dokładny dla pary A-R ma w tym wypadku postać

$$\begin{array}{ccccccc} H_2(N^2, N^0) & \longrightarrow & H_2(N^2, N^1) & \xrightarrow{\partial} & H_1(N^1, N^0) & \longrightarrow & H_1(N^2, N^0) \\ \parallel & & \parallel & & \parallel & & \parallel \\ 0 & \longrightarrow & \mathbb{Z} & \xrightarrow{\partial} & \mathbb{Z} & \longrightarrow & 0 \end{array}$$

czyli ∂ jest izomorfizmem.

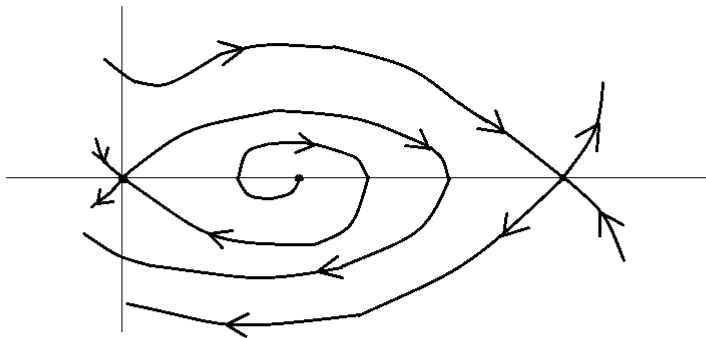
Szkic dowodu 7

Szkic dowodu 7

Wyliczamy odwzorowanie brzegu ∂' dla małego θ wykorzystując znajomość portretu fazowego.

Szkic dowodu 7

Wyliczamy odwzorowanie brzegu ∂' dla małego θ wykorzystując znajomość portretu fazowego.



Szkic dowodu 8

Szkic dowodu 8

Ponieważ dla dużego θ nie orbity łączącej z M_3 do M_2 , zatem $\partial' = 0$ na mocy twierdzenia o odwzorowaniu łączącym.

Szkic dowodu 9

Szkic dowodu 9

Otrzymujemy stąd diagram przemienny

Szkic dowodu 9

Otrzymujemy stąd diagram przemienny

$$\begin{array}{ccc} H_*(N^2, N^1) & \xrightarrow[\text{iso}]{\partial} & H_*(N^1, N^0) \\ \text{iso} \downarrow & & \downarrow \text{iso} \\ H_*(P^2, P^1) & \xrightarrow[0]{\partial'} & H_*(P^1, P^0) \end{array}$$

Szkic dowodu 9

Otrzymujemy stąd diagram przemienny

$$\begin{array}{ccc} H_*(N^2, N^1) & \xrightarrow[\text{iso}]{\partial} & H_*(N^1, N^0) \\ \text{iso} \downarrow & & \downarrow \text{iso} \\ H_*(P^2, P^1) & \xrightarrow[0]{\partial'} & H_*(P^1, P^0) \end{array}$$

co prowadzi do sprzeczności i dowodzi, że dla pewnej dodatniej wartości parametru θ istnieje orbita łącząca z $(0, 0)$ do $(1, 0)$.

Uogólnienie twierdzenia z poprzedniego przykładu

Uogólnienie twierdzenia z poprzedniego przykładu

W książce Conleya znajduje się następujące uogólnienie poprzedniego wyniku.

Uogólnienie twierdzenia z poprzedniego przykładu

W książce Conleya znajduje się następujące uogólnienie poprzedniego wyniku.

Założenia:

Uogólnienie twierdzenia z poprzedniego przykładu

W książce Conleya znajduje się następujące uogólnienie poprzedniego wyniku.

Założenia:

- $F: \mathbb{R}^n \rightarrow \mathbb{R}$ gładka taka, że $F(x) \rightarrow -\infty$, gdy $|x| \rightarrow \infty$,

Uogólnienie twierdzenia z poprzedniego przykładu

W książce Conleya znajduje się następujące uogólnienie poprzedniego wyniku.

Założenia:

- $F: \mathbb{R}^n \rightarrow \mathbb{R}$ gładka taka, że $F(x) \rightarrow -\infty$, gdy $|x| \rightarrow \infty$,
- dla pewnego dużego ujemnego C zbiór $\{x \mid F(x) \leq C\}$ jest wypukły,

Uogólnienie twierdzenia z poprzedniego przykładu

W książce Conleya znajduje się następujące uogólnienie poprzedniego wyniku.

Założenia:

- $F: \mathbb{R}^n \rightarrow \mathbb{R}$ gładka taka, że $F(x) \rightarrow -\infty$, gdy $|x| \rightarrow \infty$,
- dla pewnego dużego ujemnego C zbiór $\{x \mid F(x) \leq C\}$ jest wypukły,
- $x = 0$ jest globalnym maksimum funkcji F i $F(0) = 0$,

Uogólnienie twierdzenia z poprzedniego przykładu

W książce Conleya znajduje się następujące uogólnienie poprzedniego wyniku.

Założenia:

- $F: \mathbb{R}^n \rightarrow \mathbb{R}$ gładka taka, że $F(x) \rightarrow -\infty$, gdy $|x| \rightarrow \infty$,
- dla pewnego dużego ujemnego C zbiór $\{x \mid F(x) \leq C\}$ jest wypukły,
- $x = 0$ jest globalnym maksimum funkcji F i $F(0) = 0$,
- $x_0 \neq 0$ jest lokalnym maksimum funkcji F ,

Uogólnienie twierdzenia z poprzedniego przykładu

W książce Conleya znajduje się następujące uogólnienie poprzedniego wyniku.

Założenia:

- $F: \mathbb{R}^n \rightarrow \mathbb{R}$ gładka taka, że $F(x) \rightarrow -\infty$, gdy $|x| \rightarrow \infty$,
- dla pewnego dużego ujemnego C zbiór $\{x \mid F(x) \leq C\}$ jest wypukły,
- $x = 0$ jest globalnym maksimum funkcji F i $F(0) = 0$,
- $x_0 \neq 0$ jest lokalnym maksimum funkcji F ,
- punkty krytyczne funkcji F inne niż 0 i x_0 mają wartości krytyczne mniejsze niż $F(x_0) - \epsilon$ dla pewnego $\epsilon > 0$,

Uogólnienie twierdzenia z poprzedniego przykładu

W książce Conleya znajduje się następujące uogólnienie poprzedniego wyniku.

Założenia:

- $F: \mathbb{R}^n \rightarrow \mathbb{R}$ gładka taka, że $F(x) \rightarrow -\infty$, gdy $|x| \rightarrow \infty$,
- dla pewnego dużego ujemnego C zbiór $\{x \mid F(x) \leq C\}$ jest wypukły,
- $x = 0$ jest globalnym maksimum funkcji F i $F(0) = 0$,
- $x_0 \neq 0$ jest lokalnym maksimum funkcji F ,
- punkty krytyczne funkcji F inne niż 0 i x_0 mają wartości krytyczne mniejsze niż $F(x_0) - \epsilon$ dla pewnego $\epsilon > 0$,
- $2F(x) + \langle x, \nabla F(x) \rangle < 0$ dla $x \neq 0$.

Uogólnienie twierdzenia z poprzedniego przykładu c.d.

Uogólnienie twierdzenia z poprzedniego przykładu c.d.

Twierdzenie

Istnieje dodatnia wartość θ taka, że układ w \mathbb{R}^{2n}

Uogólnienie twierdzenia z poprzedniego przykładu c.d.

Twierdzenie

Istnieje dodatnia wartość θ taka, że układ w \mathbb{R}^{2n}

$$dx/dt = y,$$

$$dy/dt = \theta y - \nabla F(x)$$

Uogólnienie twierdzenia z poprzedniego przykładu c.d.

Twierdzenie

Istnieje dodatnia wartość θ taka, że układ w \mathbb{R}^{2n}

$$dx/dt = y,$$

$$dy/dt = \theta y - \nabla F(x)$$

posiada rozwiązanie z punktu stałego $(x_0, 0)$ do punktu stałego $(0, 0)$.

Uogólnienie twierdzenia z poprzedniego przykładu c.d.

Twierdzenie

Istnieje dodatnia wartość θ taka, że układ w \mathbb{R}^{2n}

$$dx/dt = y,$$

$$dy/dt = \theta y - \nabla F(x)$$

posiada rozwiązanie z punktu stałego $(x_0, 0)$ do punktu stałego $(0, 0)$.

Uwaga

Z powyższych twierdzeń **nie** wynika jednoznaczność parametru θ .

Pełny dowód

Pełny dowód

Pełny dowód twierdzenia z książki Conleya wykorzystujący teorię macierzy połączeń można znaleźć w pracy

Pełny dowód

Pełny dowód twierdzenia z książki Conleya wykorzystujący teorię macierzy połączeń można znaleźć w pracy

J. Reineck, *Travelling wave solutions to a gradient systems*, Trans. Amer. Math. Soc. 307 (1988), 535–544,

Pełny dowód

Pełny dowód twierdzenia z książki Conleya wykorzystujący teorię macierzy połączeń można znaleźć w pracy

J. Reineck, *Travelling wave solutions to a gradient systems*, Trans. Amer. Math. Soc. 307 (1988), 535–544,

w której punktem wyjścia jest układ równań reakcji-dyfuzji

Pełny dowód

Pełny dowód twierdzenia z książki Conleya wykorzystujący teorię macierzy połączeń można znaleźć w pracy

J. Reineck, *Travelling wave solutions to a gradient systems*, Trans. Amer. Math. Soc. 307 (1988), 535–544,

w której punktem wyjścia jest układ równań reakcji-dyfuzji

$$\frac{\partial u_i}{\partial \tau} = \frac{\partial^2 u_i}{\partial \xi^2} + f_i(u_1, \dots, u_d), \quad i = 1, \dots, d.$$

Polecane wprowadzenie do fal biegnących

Polecane wprowadzenie do fal biegnących

Bogdan Kaźmierczak, *Fale biegnące w ośrodkach z dyfuzją*,
Matematyka Stosowana 6 (2005), 29–47.